



Difusão de Electrólitos

Lic. Engenharia Química e Biológica

Fenómenos de Transferência II

Coeficientes de difusão de electrólitos

Table 6.1-1. *Diffusion coefficients of ions in water at 25°C*

Cation _i	D_i	Anion _i	D_i
H ⁺	9.31	OH ⁻	5.28
Li ⁺	1.03	F ⁻	1.47
Na ⁺	1.33	Cl ⁻	2.03
K ⁺	1.96	Br ⁻	2.08
Rb ⁺	2.07	I ⁻	2.05
Cs ⁺	2.06	NO ₃ ⁻	1.90
Ag ⁺	1.65	CH ₃ COO ⁻	1.09
NH ₄ ⁺	1.96	CH ₃ CH ₂ COO ⁻	0.95
N(C ₄ H ₉) ₄ ⁺	0.52	B(C ₆ H ₅) ₄ ⁻	0.53
Ca ²⁺	0.79	SO ₄ ²⁻	1.06
Mg ²⁺	0.71	CO ₃ ²⁻	0.92
La ³⁺	0.62	Fe(CN) ₆ ³⁻	0.98

Note: Values at infinite dilution in 10⁻⁵ cm²/sec. Calculated from data of Robinson and Stokes (1960).

Coeficientes de difusão de electrólitos

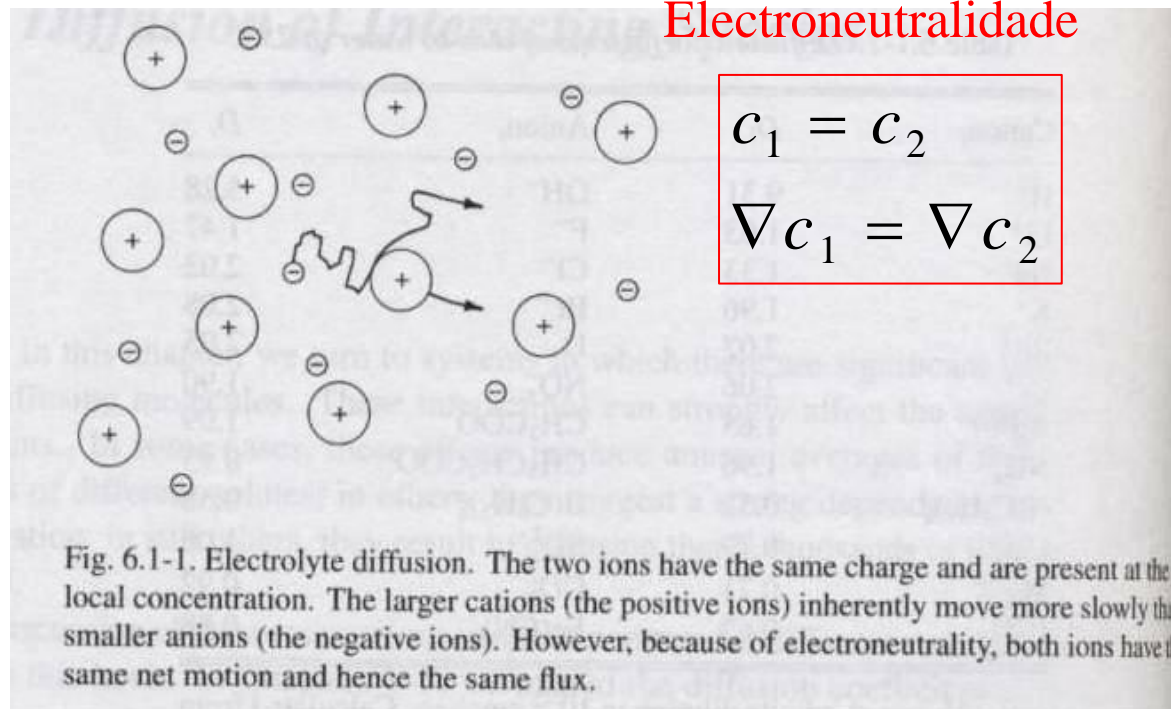
A lei de Fick

$$j_{Na^+} = -D_{Na^+} \nabla c_{Na^+}$$

não considera efeitos eléctricos

$$D_{Cl^-} > D_{Na^+} \longrightarrow D^{NaCl} = ?$$

- Como é que o potencial electrostático afecta a difusão?



Velocidade do ião

The diagram illustrates the Nernst-Planck equation for ion velocity, $\mathbf{v}_i = -u_i (\nabla \mu_i + z_i F \nabla \Psi)$, enclosed in a red box. Annotations with arrows point to specific parts of the equation:

- Mobilidade ião** (red text) points to u_i with a downward arrow.
- Potencial Químico** (red text) points to $\nabla \mu_i$ with a downward arrow.
- Potencial Eléctrico** (red text) points to $\nabla \Psi$ with a downward arrow.
- Carga iónica** (black text) points to z_i with an upward arrow.
- Constante de Faraday** (black text) points to F with an upward arrow.
- Potencial Electrostático** (black text) points to Ψ with an upward arrow.

Additionally, the terms z_i , F , and Ψ are individually circled in green.

u_i : propriedade física do ião $\sim \frac{1}{6\pi\eta R_0}$ Stokes-Einstein

Raio “Efectivo” (efeitos solvatação!)

The diagram shows the Stokes-Einstein equation, $u_i \sim \frac{1}{6\pi\eta R_0}$. The text u_i : propriedade física do ião is to the left of the equation. The text **Raio “Efectivo”** (efeitos solvatação!) is below the equation, with an upward arrow pointing to R_0 . The text Stokes-Einstein is to the right of the equation.

Fluxo do ião

$$\mathbf{v}_i = -u_i(\nabla \mu_i + z_i F \nabla \Psi)$$

$$\mu_i = \mu_i^0 + RT \ln a_i$$

Soluções diluídas :

$$a_i \Rightarrow c_i$$

$$-J_i = -c_i \mathbf{v}_i = c_i \frac{[u_i RT]}{c_i} \left(\nabla c_i + c_i z_i \frac{F \nabla \Psi}{RT} \right)$$

$$\nabla \mu_i = \frac{RT}{c_i} \nabla c_i$$

$$-J_i = [u_i RT] \left(\nabla c_i + c_i z_i \frac{F \nabla \Psi}{RT} \right)$$

$$D_i = u_i RT$$

Relação Einstein

$$-J_i = [D_i] \left(\nabla c_i + c_i z_i \frac{F \nabla \Psi}{RT} \right)$$

Equação Nernst-Plank

Electrólitos Fortes (1:1)

- Ionizam completamente produzindo igual número de catiões e aniões

- Os fluxos dos iões são:

$$\mathbf{J}_1 - \mathbf{J}_2 = \frac{\mathbf{i}}{|z|}$$

Densidade de corrente

Módulo da carga iónica

1 e 2 referem -se ao catião e anião, respectivamente

Fluxos dos iões

As equações de Nernst-Planck para cada ião:

$$\mathbf{J}_1 - \mathbf{J}_2 = \frac{\mathbf{i}}{|z|}$$

$$J_1 = -D_1 \left(\nabla c_1 + |z| c_1 \frac{F \nabla \Psi}{RT} \right)$$

$$J_2 = -D_2 \left(\nabla c_2 - |z| c_2 \frac{F \nabla \Psi}{RT} \right)$$

$$\begin{aligned} c_1 &= c_2 \\ \nabla c_1 &= \nabla c_2 \end{aligned}$$

$$\frac{\mathbf{i}}{|z|} = -D_1 \left(\nabla c_1 + c_1 \frac{F \nabla \Psi}{RT} \right) + D_2 \left(\nabla c_1 - c_1 \frac{F \nabla \Psi}{RT} \right)$$

$$\frac{\mathbf{i}}{|z|} = (D_2 - D_1) \nabla c_1 - (D_1 + D_2) c_1 \frac{F \nabla \Psi}{RT}$$

$$c_1 \frac{F \nabla \Psi}{RT} = \frac{(D_2 - D_1)}{(D_1 + D_2)} \nabla c_1 - \frac{\mathbf{i}}{|z|} \frac{1}{(D_1 + D_2)}$$

Fluxos dos iões

$\times (D_1)$

$$D_1 c_1 \frac{F \nabla \Psi}{RT} = D_1 \frac{(D_2 - D_1)}{(D_1 + D_2)} \nabla c_1 - \frac{\mathbf{i}}{|z|} \frac{D_1}{(D_1 + D_2)}$$

$+ D_1 \nabla c_1$

$$D_1 \nabla c_1 + D_1 c_1 \frac{F \nabla \Psi}{RT} = D_1 \frac{(D_2 - D_1)}{(D_1 + D_2)} \nabla c_1 + D_1 \nabla c_1 - \frac{\mathbf{i}}{|z|} \frac{D_1}{(D_1 + D_2)}$$

$- J_1$

$$J_1 = -D_1 \frac{(D_2 - D_1)}{(D_1 + D_2)} \nabla c_1 - D_1 \nabla c_1 + \frac{\mathbf{i}}{|z|} \frac{D_1}{(D_1 + D_2)}$$

$$J_1 = \frac{-D_1(D_2 - D_1) - D_1(D_1 + D_2)}{(D_1 + D_2)} \nabla c_1 + \frac{\mathbf{i}}{|z|} \frac{D_1}{(D_1 + D_2)}$$


$$J_1 = -\frac{2D_1 D_2}{D_1 + D_2} \nabla c_1 + \frac{\mathbf{i}}{|z|} \frac{D_1}{D_1 + D_2}$$

Fluxos dos iões

$$J_1 = -\frac{2D_1D_2}{D_1 + D_2} \nabla c_1 + \frac{D_1}{D_1 + D_2} \left(\frac{\mathbf{i}}{|z|} \right)$$

Se não houver corrente: $\mathbf{i} = \mathbf{0}$

$$J_1 = -\frac{2D_1D_2}{D_1 + D_2} \nabla c_1 = -D \nabla c_1 = -D \nabla c_2 = J_2$$


$$D = \frac{2}{\frac{1}{D_1} + \frac{1}{D_2}}$$

Coeficiente de difusão é a **Média harmónica**

Fluxos dos iões

$$J_1 = -\frac{2D_1D_2}{D_1 + D_2} \nabla c_1 + \frac{D_1}{D_1 + D_2} \left(\frac{\mathbf{i}}{|z|} \right)$$

Se a solução for bem agitada:

$$\nabla c = 0$$

$$J_1 = \frac{D_1}{D_1 + D_2} \left(\frac{\mathbf{i}}{|z|} \right)$$

$$J_2 = \frac{D_2}{D_1 + D_2} \left(\frac{\mathbf{i}}{|z|} \right)$$



$$t_i = \frac{D_i}{D_1 + D_2}$$

“Número de transferência” (fracção da corrente transportada pelo ião, i).

Média Aritmética dos dois coeficientes de difusão

Exemplo: Difusão do HCl

**Qual o valor do coeficiente de difusão a 25 °C de HCl em água?
Calcule o n° de transferência para o próton nestas condições.**

$$D = \frac{2}{\frac{1}{D_1} + \frac{1}{D_2}}$$

$$t_i = \frac{D_i}{D_1 + D_2}$$

Coeficientes de difusão de electrólitos

Table 6.1-1. *Diffusion coefficients of ions in water at 25°C*

Cation _i	D_i	Anion _i	D_i
H ⁺	9.31	OH ⁻	5.28
Li ⁺	1.03	F ⁻	1.47
Na ⁺	1.33	Cl ⁻	2.03
K ⁺	1.96	Br ⁻	2.08
Rb ⁺	2.07	I ⁻	2.05
Cs ⁺	2.06	NO ₃ ⁻	1.90
Ag ⁺	1.65	CH ₃ COO ⁻	1.09
NH ₄ ⁺	1.96	CH ₃ CH ₂ COO ⁻	0.95
N(C ₄ H ₉) ₄ ⁺	0.52	B(C ₆ H ₅) ₄ ⁻	0.53
Ca ²⁺	0.79	SO ₄ ²⁻	1.06
Mg ²⁺	0.71	CO ₃ ²⁻	0.92
La ³⁺	0.62	Fe(CN) ₆ ³⁻	0.98

Note: Values at infinite dilution in 10⁻⁵ cm²/sec. Calculated from data of Robinson and Stokes (1960).

Difusão do HCl

$$D_{H^+} = 9.31 \times 10^{-5} \text{ cm}^2 / \text{sec}$$

$$D_{Cl^-} = 2.03 \times 10^{-5} \text{ cm}^2 / \text{sec}$$

$$D = \frac{2}{\frac{1}{D_1} + \frac{1}{D_2}}$$

$$D_{HCl} = \frac{2}{\frac{1}{D_{H^+}} + \frac{1}{D_{Cl^-}}} = 3.3 \times 10^{-5} \text{ cm}^2 / \text{sec}$$

O ião mais lento **domina**!

$$t_1 = \frac{D_1}{D_1 + D_2}$$

$$t_{H^+} = \frac{D_{H^+}}{D_{H^+} + D_{Cl^-}} = 0.82$$

Os **protões** transportam 82 % da corrente!

Determinação experimental de coeficientes de difusão de electrólitos:

Usando Técnicas Electroquímicas

Condutividade molar (ou equivalente) a diluição infinita!

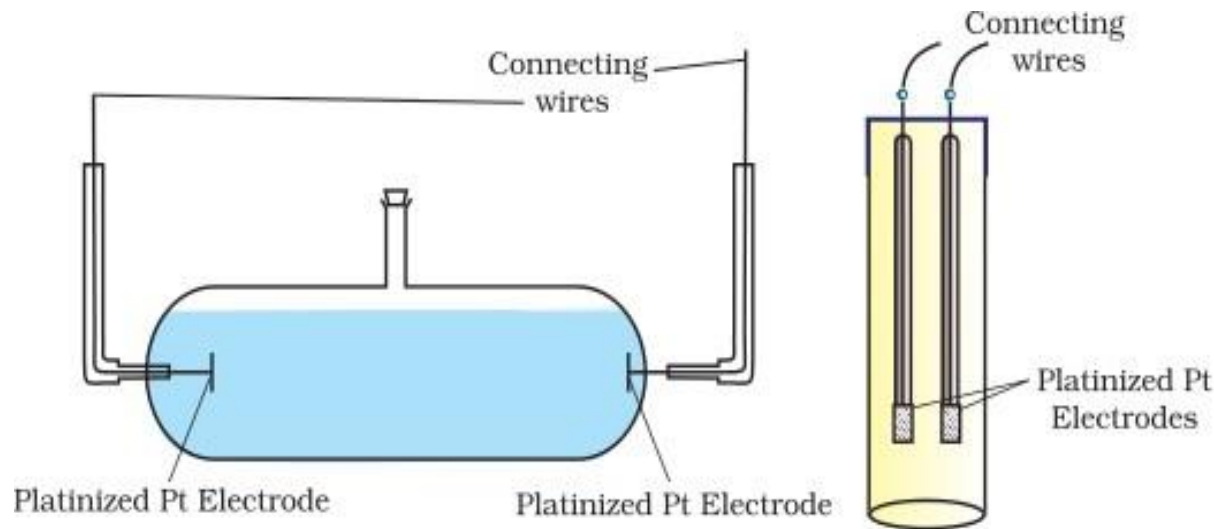


Fig. 3.4: Two different types of conductivity cells.

Condutância S

Condutividade específica

$S \text{ cm}^{-1}$

Condutividade molar

$S \text{ cm}^2 \text{ mol}^{-1}$

Coefficientes de difusão de vários iões

CRC Handbook of Chemistry and Physics, 87th Edition

IONIC CONDUCTIVITY AND DIFFUSION AT INFINITE DILUTION

Ion	Λ_{\pm}	D			
	$10^{-4} \text{ m}^2 \text{ S mol}^{-1}$	$10^{-5} \text{ cm}^2 \text{ s}^{-1}$			
<i>Inorganic Cations</i>			<i>Inorganic Anions</i>		
Ag^+	61.9	1.648	$\text{Au}(\text{CN})_2^-$	50	1.331
$1/3\text{Al}^{3+}$	61	0.541	$\text{Au}(\text{CN})_4^-$	36	0.959
$1/2\text{Ba}^{2+}$	63.6	0.847	$\text{B}(\text{C}_6\text{H}_5)_4^-$	21	0.559
$1/2\text{Be}^{2+}$	45	0.599	Br^-	78.1	2.080
$1/2\text{Ca}^{2+}$	59.47	0.792	Br_3^-	43	1.145
$1/2\text{Cd}^{2+}$	54	0.719	BrO_3^-	55.7	1.483
$1/3\text{Ce}^{3+}$	69.8	0.620	CN^-	78	2.077
$1/2\text{Co}^{2+}$	55	0.732	CNO^-	64.6	1.720
$1/3[\text{Co}(\text{NH}_3)_6]^{3+}$	101.9	0.904	$1/2\text{CO}_3^{2-}$	69.3	0.923
$1/3[\text{Co}(\text{en})_3]^{3+}$	74.7	0.663	Cl^-	76.31	2.032
$1/6[\text{Co}_2(\text{trien})_3]^{6+}$	69	0.306	ClO_2^-	52	1.385
$1/3\text{Cr}^{3+}$	67	0.595	ClO_3^-	64.6	1.720
Cs^+	77.2	2.056	ClO_4^-	67.3	1.792
			$1/3[\text{Co}(\text{CN})_6]^{3-}$	98.9	0.878
			$1/2\text{CrO}_4^{2-}$	85	1.132



Difusão em sólidos

Interacções de espécie(s) em difusão em meios sólidos

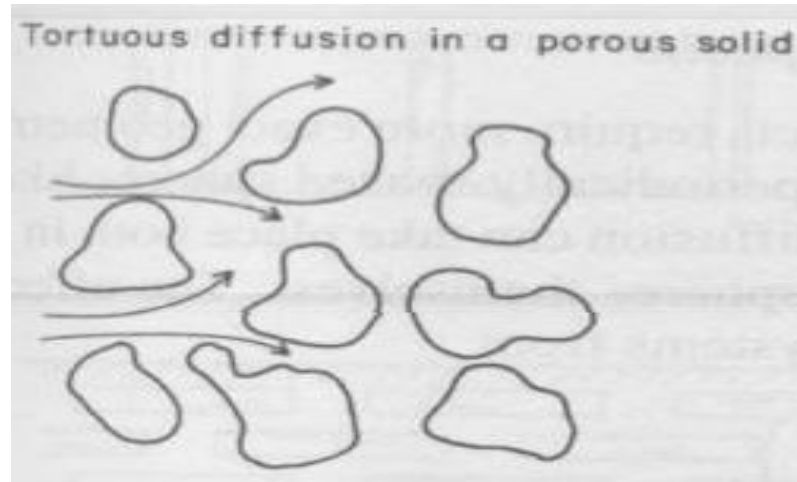
- **Difusão através de:**
 - **Meios porosos**
 - **Meios não porosos (densos)**
 - **Meios compósitos**

Importância da difusão em meios porosos e não porosos

- Processos catalíticos (catálise heterogénia)
- Processos com membranas
- Separação de gases
- Permeação de vapores
- Permeação através de embalagens
- Libertação controlada de fármacos

Difusão em meios porosos

Sólidos Impermeáveis



Coeficiente de difusão nos poros

$$D_{eff} = D \frac{\epsilon}{\tau}$$

↓

Porosidade

Tortuosidade

(factor empírico variando usualmente entre 2 e 6, média ~ 3);
descreve a razão do *comprimento real* ao *comprimento nominal* do meio poroso

Difusão em meios porosos

IUPAC definição:

$d > 50 \text{ nm}$ **Macro**poros

$2 < d < 50 \text{ nm}$ **Meso**poros

$d < 2 \text{ nm}$ **Micro**poros

Poros grandes

Viscous flow

Bulk diffusion

Knudsen diffusion

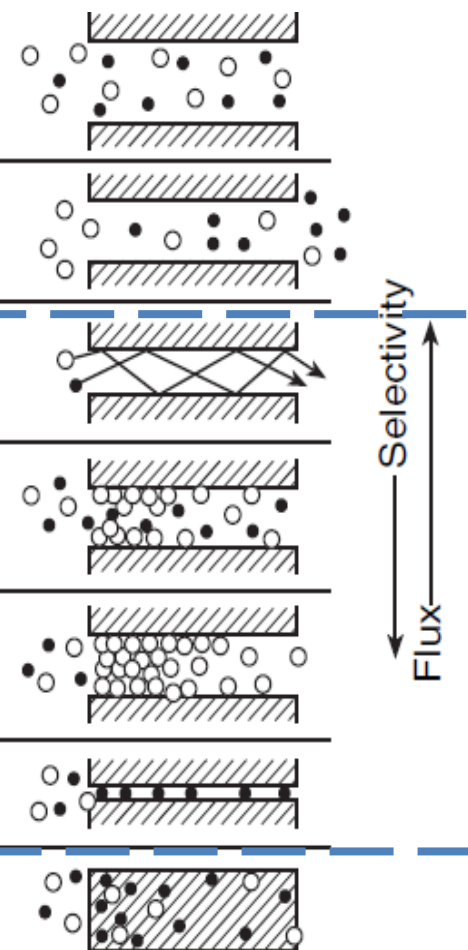
Surface diffusion

Capillary condensation

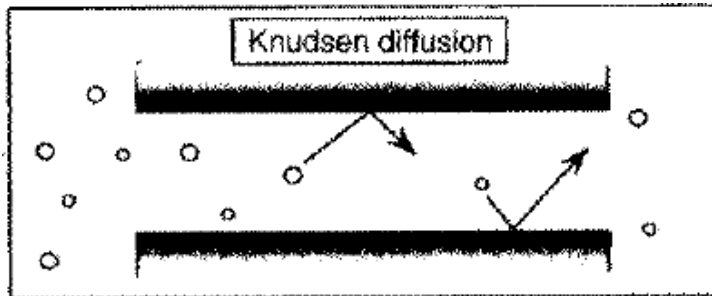
Molecular sieving

Diffusion solubility

Meios não porosos



Difusão de Knudsen



$1 \text{ nm} < d_{\text{poro}} < 100 \text{ nm}$

$$\lambda > d$$
$$\text{Kn} > 1$$



λ (m), livre percurso médio

d (m), diâmetro de poro

Kn (-), número de Knudsen ($= \lambda / d$)

- Transporte através do sólido **explicado por colisões gás – sólido**
- Relacionado com o tamanho do gás
- Referente a misturas gasosas

Difusão de Knudsen

λ (m), **percurso médio livre**, distância média percorrida por uma molécula entre 2 colisões sucessivas

$$\lambda = \frac{k_B \cdot T}{\sqrt{2} \cdot \pi \cdot d_{colisão}^2 \cdot p}$$

$k_B = 1.381 \times 10^{-23}$ J/K - constante de Boltzmann

p - pressão do lado da alimentação

$d_{colisão}$ - diâmetro de colisão (diâmetro de Lennard-Jones) entre os gases que se difundem.

$$K_n = \lambda / d_{poro}$$

Gas	Kinetic diameter, d_k (Å) [22]	Lennard-Jones diameter, d_{LJ} (Å) [48]
He	2.6	2.551
H ₂	2.89	2.827
O ₂	3.46	3.467
N ₂	3.64	3.798
CO	3.76	3.69
CO ₂	3.3	3.941
CH ₄	3.8	3.758
C ₂ H ₆	—	4.443
C ₂ H ₄	3.9	4.163
C ₃ H ₈	4.3	5.118
C ₃ H ₆	4.5	4.678
<i>n</i> -C ₄ H ₁₀	4.3	4.971
<i>i</i> -C ₄ H ₁₀	5	5.278
H ₂ O	2.65	2.641
H ₂ S	3.6	3.623

Difusão de Knudsen

O coeficiente de difusão de Knudsen a partir da teoria cinética das esferas rígidas.
(O material do meio poroso é considerado inerte)

$$D_{eff,i}^k = \frac{\varepsilon \cdot D_i^k}{\tau} = \frac{\varepsilon \cdot d_{pore}}{\tau \cdot 3} \cdot \left(\frac{8RT}{\pi MW_i} \right)^{1/2}$$

D_i^k [m²/s], coeficiente de difusão de Knudsen do gas i

$D_{eff,i}^k$ [m²/s], coeficiente de difusão de Knudsen efectivo do gas i

ε [-], porosidade do meio poroso

τ [-], tortuosidade do meio poroso

- D^k depende de:
 - $MW_i^{-1/2}$
 - $T^{1/2}$
- D^k é independente:
 - da pressão
 - do peso molecular do qualquer outro gas presente na mistura! Compare com a aula sobre difusão de gases (equação de Hirschfelder).

Difusão de Knudsen

Considerando o transporte de O_2 e de CO_2 através de uma rolha de cortiça natural numa garrafa de vinho a $23^\circ C$ e a 1 bar:

- (i) calcule o livre percurso médio para os gases O_2 e de CO_2 .
- (ii) Calcule o número de Knudsen.
- (iii) Será que este transporte segue um comportamento difusivo de Knudsen?

Dados:

$$d_{O_2} = 3,467 \text{ \AA}$$

$$d_{CO_2} = 3,941 \text{ \AA}$$

$$k_B = 1,38 \cdot 10^{-23} \text{ J/K}$$

$$1 \text{ bar} = 10^5 \text{ Pa}$$

$$d_{\text{poro}} = 40 \text{ nm}$$

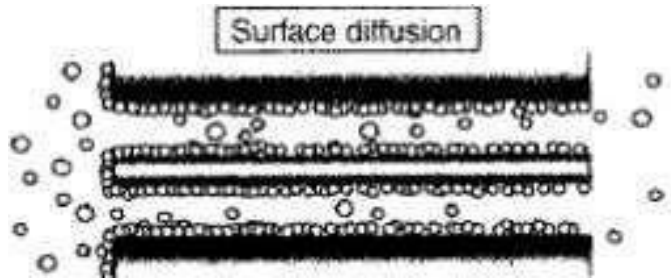
$$\lambda = \frac{k_B \cdot T}{\sqrt{2} \cdot \pi \cdot d_{\text{solute}}^2 \cdot p}$$

Solução:

$$\lambda = 76 \text{ nm } O_2 \quad Kn=1,9$$

$$\lambda = 59 \text{ nm } CO_2 \quad Kn=1,5$$

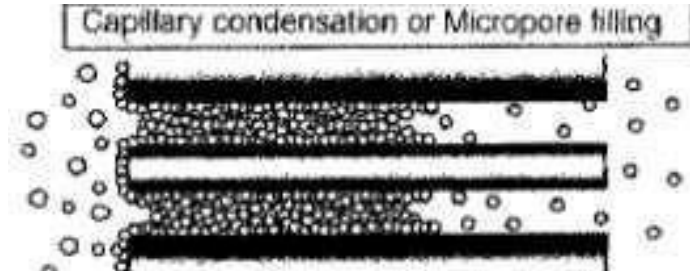
Difusão superficial



$$1 \text{ nm} < d_{\text{poro}} < 4 \text{ nm}$$

- Moléculas de gás adsorvidas nas paredes do poro
- Relacionada com a mobilidade das moléculas à superfície
- Relacionada com a natureza química do gás e do material poroso
(P. ex., Carvão activado: $\text{CO}_2 > \text{CH}_4 > \text{N}_2 > \text{H}_2 > \text{He}$)
- Referente a misturas gasosas e vapores
- Depende fortemente de T!

Condensação capilar



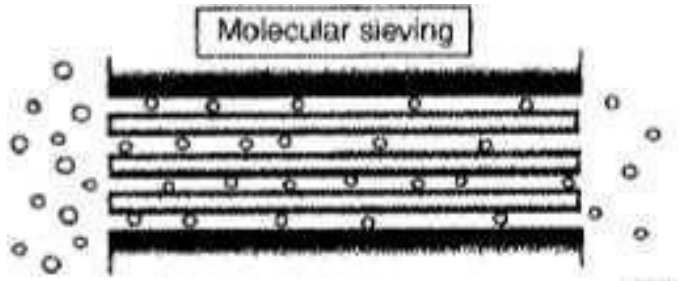
$$0.6 \text{ nm} < d_{\text{poro}} < 6 \text{ nm}$$

- Moléculas de gás ou vapor condensam dentro dos poros e movem-se como líquidos
- Elevada selectividade para os gases ou vapores que condensam
- Relacionado com a natureza química do soluto

Exemplos:

Separação de CO_2 e CH_4 a T ambiente, elevada redução da permeabilidade do gás metano não condensável quando a mistura é processada;

Peneiros moleculares



2. $\text{nm} < d_{\text{poro}} < 1 \text{ nm}$

- Tamanho de poro comparável ao tamanho do gás alvo
- Com elevada selectividade
- Relacionado com o tamanho do soluto
- Referente a misturas gasosas e vapores
 - Exemplo: separação alcanos lineares / alcanos ramificados usando zeólitos

Difusão em meios não porosos

- Referente a misturas gases, vapores e líquidos!

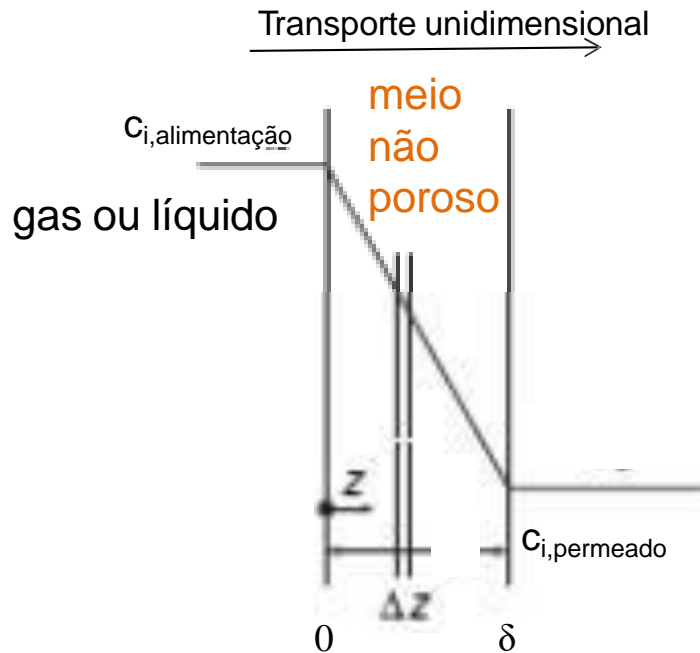
1ª lei de Fick

$$J_i = -D_i \cdot \frac{dc_i}{dz}$$

Equação de transporte de massa através do filme

$$J_i = \frac{D_i}{\delta} \Delta c_i$$

$$J_i = \frac{D_i}{\delta} \Delta p_i$$



Perfil de concentração, c , de um soluto i no seu transporte através de um filme não poroso em estado estacionário **sem** resistências externas ao transporte e **sem** partição.

Difusão em meios compósitos

A forma da equação depende da geometria. Para **esferas**:

$$\frac{D_{eff}}{D} = \frac{\frac{2}{D_s} + \frac{1}{D} - 2\phi_s \left(\frac{1}{D_s} - \frac{1}{D} \right)}{\frac{2}{D_s} + \frac{1}{D} + \phi_s \left(\frac{1}{D_s} - \frac{1}{D} \right)} \quad (\text{Maxwell, 1873})$$

ϕ_s - Fracção de volume das esferas no material compósito

D - Coeficiente de difusão na fase contínua

D_s - Coeficiente de difusão através das esferas (fase dispersa)

Difusão depende apenas da **fracção de volume** das esferas - não do tamanho!

Difusão em meios compósitos

→ Se as esferas forem impermeáveis ($D_s=0$): $\frac{D_{eff}}{D} = \frac{2(1-\phi_s)}{2+\phi_s}$

→ Se as esferas forem muito permeáveis ($D_s=\infty$): $\frac{D_{eff}}{D} = \frac{1+2\phi_s}{1-\phi_s}$

Para $\phi_s = 0.1$ $\frac{D_{eff}}{D} = 0.86$ e $\frac{D_{eff}}{D} = 1.33$